

P. Graee
H. Karimi

پرویز گرایی، کارشناس ارشد اداره کل منابع طبیعی و آبخیزداری استان ایلام
حاجی کریمی، عضو هیات علمی دانشگاه ایلام

E.mail: parviz_graee@yahoo.com

شماره مقاله: ۷۸۲

شماره صفحه پیاپی ۱۶۲۵۱-۱۶۲۷۸

تعیین مناسب‌ترین روش پنهان‌بندی خطر زمین لغزش در حوضه آبخیز سد ایلام

چکیده:

در سال‌های اخیر، عوامل طبیعی و انسانی باعث تشدید خسارت‌های ناشی از زمین لغزش‌ها شده است. یکی از راهکارهای مهم برای کاهش خسارت‌های ناشی از وقوع زمین لغزش‌ها، دوری جستن از مناطق دارای خطر است. بدین منظور، لازم است نقشه پنهان‌بندی خطر زمین لغزش برای این مناطق تهیه گردد. در این تحقیق، ابتدا پس از بررسی‌های میدانی در حوضه سد ایلام ۹ عامل مؤثر شامل شب دامنه، جهت دامنه، ارتفاع از سطح دریا، بارندگی، فاصله از جاده، فاصله از گسل، فاصله از شبکه زهکشی، کاربری اراضی و سنگ شناسی به عنوان عوامل مؤثر در وقوع زمین لغزش‌های منطقه تشخیص داده شدند و این ۹ عامل در محیط GIS با استفاده از نرم افزار Arcview تهیه گردیدند و لایه پراکنش زمین لغزش‌ها بر روی هر کدام از این لایه‌ها اندخته شدند و همپوشانی گردید، تا نقش طبقات مربوط به عوامل مختلف مشخص شود. سپس پنهان‌بندی با پنج روش ارزش اطلاعاتی، تراکم سطح، فرایند تحلیل سلسله مراتبی، روش پیشنهادی کوپتا-جوشی (Lnrf) و نسبت فراوانی انجام گرفت. در پایان، برای ارزیابی صحت نقشه‌های پنهان‌بندی، وزن‌های به دست آمده از روش‌های ذکر شده در حوضه سد ایلام برای حوضه آبخیز مجاور (حوضه پاکل گراب) - که از بسیاری لحاظ مشابه حوضه سد ایلام بود - به کار گرفته شد. نتایج نشان داد که روش ارزش اطلاعاتی نسبت به سایر روش‌ها در

تفکیک طبقات خطر نتایج بهتری ارایه نموده است. بنابراین، این روش به عنوان روش نهایی پهنه بندی خطر زمین لغزش برای منطقه مورد مطالعه پیشنهاد گردید.
واژه‌های کلیدی: پهنه بندی خطر زمین لغزش، فرایند تحلیل سلسله مراتبی، نسبت فراوانی، سامانه اطلاعات جغرافیایی، حوضه آبخیز سد ایلام

مقدمه :

زمین لغزش‌ها هر ساله موجب خسارت‌های سنگینی می‌گردند که گاهی جبران این خسارت‌ها ممکن نیست و یا نیاز به وقت و هزینه بسیار زیاد دارد. لذا برنامه ریزی برای جلوگیری از این خسارت‌ها از اهمیت ویژه‌ای برخوردار است. پهنه بندی عبارت است از تقسیم بندی سطح زمین به مناطق مجزا و رتبه بندی این مناطق بر اساس درجه واقعی یا پتانسیل خطر ناشی از بروز زمین لغزش (شریعت جعفری، ۱۳۷۵). دستگاه‌های اجرایی ذی‌ربط، با توجه به این نقشه می‌توانند مناطق حساس به زمین لغزش را شناسایی و در مورد برنامه‌های مورد نظر تصمیم گیری نمایند (مهدیفر و همکاران، ۱۳۷۶). پدیده زمین لغزش در استان ایلام با قدمت بیشتری نسبت به بسیاری از نقاط کشور قابل مطالعه است. بزرگترین زمین لغزش جهان در طاقدیس کبیر کوه و در امتداد رودخانه سیمراه در این استان به‌وقوع پیوسته است (علایی طالقانی، ۱۳۸۱).

در حوضه سد ایلام رخداد لغزش‌ها علاوه بر خطر آفرینی در مسیر جاده‌های حوضه در کنار رودخانه‌ها باعث وارد شدن رسوبات حاصل از لغزش‌ها به درون آنها شده، این رسوبات در پشت دریاچه سد جمع و موجب کاهش عمر مفید سد می‌شوند و تاسیسات احداث شده در مسیر آب شرب به شهر ایلام را که اهمیت حیاتی برای این شهر دارد، خراب می‌کنند. بنابراین، لازم است که با توجه به نکته‌های ذکر شده برای مدیریت صحیح این حوضه، با روش‌هایی این مناطق را در سطح حوضه شناسایی و از ایجاد خسارت‌های مالی و جانی توسط آنها جلوگیری کرد. مهمترین اهدافی که در این تحقیق دنبال می‌گردد، تعیین مناسبترین روش پهنه بندی زمین لغزش و مشخص نمودن مناطق

تعیین مناسب‌ترین روش پهنه‌بندی خطر زمین لغزش در حوضه آبخیز سد ایلام ۱۰۳

حساس به لغزش در سطح حوضه آبخیز سد ایلام است. در سال‌های اخیر، مطالعات گستردۀ‌ای در مورد زمین لغزش‌ها صورت گرفته است. دهه ۱۹۹۰ توسط سازمان یونسکو به عنوان دهه مقابله با بلایای طبیعی معرفی گردید. به مناسبت این دهه، مراکز مختلف تحقیقاتی و دانشگاهی، فعالیت‌هایی را در زمینه شناخت لغزش‌ها به عنوان یکی از بلایای طبیعی به انجام رساندند.

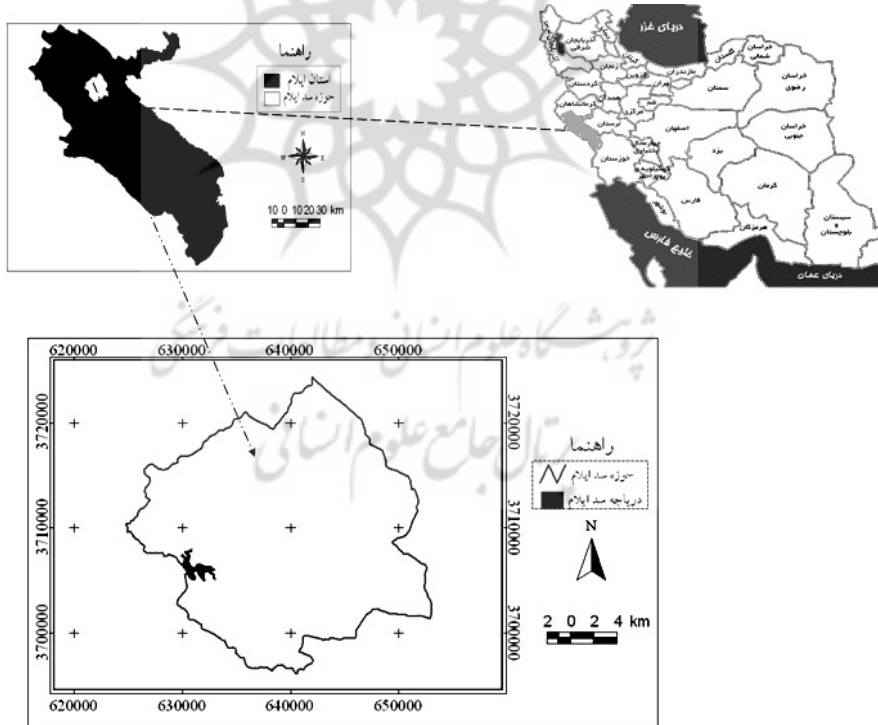
فیض نیا و همکاران (۱۳۸۳) پهنه‌بندی خطر زمین لغزش در حوضه شیرین رود ساری با چهار روش انجام داده، نتیجه گرفتند که روش ارزش اطلاعاتی و شاخص همپوشانی روش‌های مناسبی برای پهنه‌بندی در این حوضه هستند. احمدی و همکاران (۱۳۸۱) حوضه آبخیز گرمی چای اردبیل را با استفاده از روش رگرسیون چند متغیره و فرایند تحلیل سلسله مراتبی پهنه‌بندی نمودند و اظهار داشتند که روش AHP نسبت به روش دیگر از دقت بیشتری برخوردار است.

گرایی (۱۳۸۵) در تحقیقی در حوضه لاجیم رود ساری بیان کردند عوامل زمین شناسی، کاربری اراضی، شبب و فاصله از جاده، به ترتیب بیشترین تاثیر را بر لغزش‌های رخ داده در این منطقه داشته اند. کماک (۲۰۰۶) نقشه پهنه‌بندی خطر زمین لغزش را با استفاده از روش فرایند تحلیل سلسله مراتبی و روش آماری چند متغیره در اسلونی تهیه کرد و نتیجه گرفت که قابلیت روش AHP نسبت به روش رگرسیون چند متغیره خیلی بهتر است و مناطقی که از نظر حساسیت زمین لغزش بالا هستند، ارتباط نزدیکی با توزیع جاده‌ها دارند. زهانگ فایولیو^۱ (۲۰۰۷) تهیه نقشه پهنه‌بندی خطر زمین لغزش با استفاده از روش ارزش اطلاعاتی برای منطقه لانگن در استان گانسو چین رامثبت ارزیابی کرد. یلسین (۲۰۰۸) نقشه حساسیت زمین لغزش در حوضه آردیس ترکیه را با سه روش فرایند تحلیل سلسله مراتبی (AHP)، فاکتور وزنی (Wf) و شاخص آماری (Wi) تهیه نمود و نتیجه گرفت که روش AHP مناطق دارای زمین لغزش را نسبت به دو روش دیگر در حوضه مورد مطالعه بهتر نشان می‌دهد.

مواد و روش‌ها

ویژگی‌های منطقه مورد مطالعه:

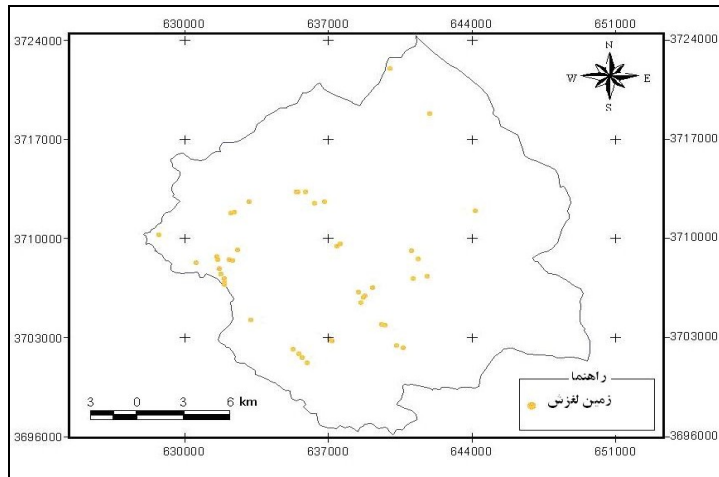
حوضه آبخیز سد ایلام با مساحت ۴۷۶ کیلو متر مربع در شرق شهرستان ایلام قرار داشته، از لحاظ تقسیمات سیاسی جزو محدوده شهرستان‌های ایلام و مهران محسوب می‌شود. این حوضه در مختصات جغرافیایی طول شرقی "۲۰۳° ۴۶' تا "۲۰۳° ۳۹' ۴۶' و عرض جغرافیایی شمالی "۳۳° ۲۳' ۳۲" تا "۳۳° ۳۸' ۵۱" قرار دارد. میانگین بارندگی دوره آماری ۳۰ ساله (۱۳۵۶-۱۳۸۵) ۵۹۵ میلی متر است. از لحاظ پوشش بیشتر سطح حوضه توسط اراضی مرتعی پوشیده شده است. از نظر زمین شناسی سازند پابده با ۲۵ درصد کل سطح حوضه، بیشترین سطح را به خود اختصاص داده است. (شکل ۱) موقعیت حوضه سد ایلام را در استان ایلام و ایران نشان می‌دهد.



شکل ۱: موقعیت حوضه سد ایلام در استان ایلام و ایران

روش تحقیق:

در این تحقیق، ابتدا با انجام عملیات صحرایی اقدام به ثبت مشخصات هر یک از زمین لغزش‌ها گردید که در نهایت ۴۶ زمین لغزش در منطقه ثبت شد. برای تعیین موقعیت هر یک از زمین لغزش‌های رخ داده در منطقه، از دستگاه موقعیت یاب جهانی (GPS) استفاده گردید. پس از تهیه مختصات جغرافیایی زمین لغزش‌ها این مختصات توسط نرم افزارهای Arc view و DNR Garmin رقومی و وارد سیستم اطلاعات جغرافیایی گردید (شکل ۲). با توجه به نتایج به دست آمده از پرسشنامه‌ها و همچنین بررسی مطالعات انجام شده در مناطق مشابه و استفاده از تجربیات افراد بومی منطقه ۹ عامل شیب دامنه، طبقات ارتفاعی، جهت دامنه، زمین شناسی، کاربری اراضی، بارندگی، فاصله از جاده، فاصله از گسل و فاصله از شبکه هیدرولوگرافی، به عنوان عوامل مؤثر اولیه تشخیص داده شدند. بعد از تهیه لایه‌های عوامل مؤثر اولیه ذکر شده در محیط سامانه اطلاعات جغرافیایی این لایه‌ها طبقه بندی گردیدند. برای این منظور، در مورد برخی از کلاسه‌های عوامل مختلف، مانند طبقات ارتفاعی و شیب از نمودار فراوانی تجمعی پیکسل‌ها در مقابل ارزش هر پیکسل استفاده شده است. که یک روش منطقی برای طبقه بندی کردن نقشه‌ها بوده، دخالت کارشناس در آن به حداقل می‌رسد و در واقع، روشی است که با الگو گرفتن از وضعیت زمینی منطقه انجام می‌گیرد (آیالیو و یاماگشی^۲، ۲۰۰۵). روی این نمودار مناطقی را که شیب منحنی تغییر پیدا کرده است، را به عنوان مرز یک کلاس با کلاس دیگر در نظر می‌گیرند. در مرحله بعد به منظور تعیین نرخ هر کلاس که در پهنه بندی از اهمیت بالایی برخوردار است، از قطع دادن نقشه پراکنش زمین لغزش‌ها با هر کدام از لایه‌های اطلاعاتی استفاده شد. سپس با استفاده از پنج روش زیر پهنه بندی انجام گرفت.



شکل ۲: نقشه پراکنش زمین لغزش‌های رخ داده در حوضه سد ایلام

پنهانه بندی به روش ارزش اطلاعاتی^۳:
در این روش از رابطه ۱ استفاده می‌گردد. رابطه ۱

$$WINF = LN \left(\frac{\frac{A}{B}}{\frac{C}{D}} \right)$$

که در آن Winf؛ نرخ مربوط به هر طبقه از عوامل؛ A: تعداد زمین لغزش در هر طبقه؛ B: مساحت هر طبقه به کیلومتر مربع؛ C: تعداد کل زمین لغزش‌های حوضه؛ D: مساحت کل حوضه به کیلومتر مربع است. سپس با توجه به نرخ‌های به دست آمده از فرمول بالا لایه‌ها تهیه شده و با جمع کردن ارزش پیکسل‌های عوامل مختلف و با فاصله پنج طبقه مساوی نقشه پنهانه بندی به روش ارزش اطلاعاتی در محیط GIS تهیه می‌گردد (فیض نیا، ۱۳۸۳).

پنهانه بندی به روش تراکم سطح^۴:

نرخ مربوط به هر یک از کلاسه‌های عوامل مختلف در این روش از رابطه ۲ به دست می‌آید (فتاحی اردکانی، ۱۳۷۹). رابطه ۲

3 -Information value

4 -Valuing area accumulation

تعیین مناسب‌ترین روش پهنه‌بندی خطر زمین لغزش در حوضه آبخیز سد ایلام ۱۰۷

$$Wa = 1000 \left(\frac{A}{B} \right) - 1000 \left(\frac{C}{D} \right)$$

Wa = نرخ مربوط به هر طبقه از عوامل؛ A؛ تعداد زمین لغزش در هر طبقه. B؛ مساحت هر طبقه به کیلومتر مربع. C؛ تعداد کل زمین لغزش‌های حوضه. D؛ مساحت کل حوضه به کیلو متر مربع. در این روش نیز بعد از تهیه نرخ‌های مربوط به کلاسه‌های عوامل مختلف، نقشه پهنه‌بندی با جمع بستن ارزش پیکسل‌های عوامل مختلف و طبقه‌بندی آن در محیط GIS تهیه می‌گردد.

پهنه‌بندی به روش فرایند تحلیل سلسله مراتبی (AHP^۵).

این روش برای اولین بار توسط ساعتی^۶ ارایه شده و بر پایه مقایسه زوجی عوامل مختلف استوار است (فرجی سبکبار، ۱۳۸۴). به طور کلی، اجرای این روش، به این صورت است که ابتدا به منظور تعیین ارجحیت عوامل مختلف و تبدیل آنها به مقادیر کمی از قضاوت‌های شفاهی (نظر کارشناسی) استفاده می‌شود (جدول ۱) که نتیجه این مقایسات به صورت یک ماتریس در می‌آید.

جدول ۱: نحوه قضاوت شفاهی برای مقایسه زوجی در روش تحلیل سلسله مراتبی سیستم‌ها

مقدار عدد	ترجیحات (قضاوت شفاهی)
۹	کاملاً مطلوب تر
۷	مطلوب خیلی قوی
۵	مطلوب قوی
۳	کمی مطلوب تر
۱	کمی مهمتر
۲،۴،۶،۸	ترجیحات بین فواصل

5 -Analytical Hierarchy Process (AHP)

6 -saatty

واضح است که با توجه به جدول ۱ محدوده اعداد کمی در ماتریس بین ۱ الی ۹ است. پس از تشکیل ماتریس مورد نظر، برای تک تک عوامل جمع هر ستون در زیر آن نوشته می شود. سپس برای محاسبه وزن هر عامل، مقادیر هر عنصر از ماتریس به جمع کل ستون های همان لایه تقسیم و در جدول دیگری نوشته می شود. در این جدول، از اعداد موجود در هر کدام از سطراها میانگین گرفته و این عدد به عنوان وزن هر لایه در نظر گرفته می شود. بعد از اینکه وزن هر کدام از لایه ها به دست آمد، در مرحله بعد باید نظر هر کدام از کلاسه های عوامل مختلف (۵) را مشخص نمود. برای انجام این عمل، نقشه پراکنش زمین لغزش ها بر روی لایه های مختلف اندخته و درصد سطح لغزش یافته در هر کلاس محاسبه می شود و با در نظر گرفتن امتیاز ۱۰۰ برای طبقه ای که بیشترین درصد سطح لغزش یافته را داراست، برای سایر کلاسه ها مناسب با آن ارزش های متفاوتی داده می شود. بعد از امتیاز دهی به کلاسه های عوامل منطقه مورد مطالعه (۵) حال می توان مقادیر امتیاز های مربوط به عوامل در نظر گرفته شده را در ضریب وزنی به دست آمده (x) ضرب کرده، آنها را با هم جمع نمود که در نهایت مدل زیر به دست خواهد آمد.

رابطه ۳

$$M = \alpha_1 \chi_1 + \alpha_2 \chi_2 + \alpha_3 \chi_3 + \alpha_4 \chi_4 + \dots$$

این رابطه در M عامل حساسیت، فاکتور X مربوط به عوامل مختلف و 5 مربوط به مقادیر وزنی هر کدام از طبقات لایه های مختلف است. بعد از آنکه مدل به دست آمد، نقشه نهایی پنهان بندی بر اساس آن تهیه می گردد. در نهایت، برای تفکیک مقادیر M به کلاسه های مختلف حساسیت به چهار قسمت مساوی به صورت جدول ۲ تقسیم بندی می گردد (احمدی، ۱۳۸۴).

تعیین مناسب‌ترین روش پهنه‌بندی خطر زمین لغزش در حوضه آبخیز سد ایلام^{۱۰۹}

جدول ۲: طبقه بندی خطر حرکات توده‌ای بر اساس روش AHP

مقدار خطر	امتیاز	کلاس درجه بندی (M)
کم خطر	۰-۲۵	۱
خطر متوسط	۲۵-۵۰	۲
خطر زیاد	۵۰-۷۵	۳
خطر بسیار زیاد	۷۵-۱۰۰	۴

پهنه‌بندی به روش^۷ LNRF

این روش به مدل گوپتا و جوشی^۸ معروف است و توسط آن دو ارایه گردید (گرایی و همکاران، ۱۳۸۶). در این روش، به منظور تعیین نرخ هر کلاس از عوامل مختلف از رابطه ۴ استفاده می‌گردد.

رابطه ۴ میانگین لغزش رخ داده در کل واحدهای نقشه عامل \div لغزش رخ داده در یک واحد از نقشه عامل= LNRF

با توجه به فرمول بالا، برای هر یک از طبقات عوامل مختلف وزن آنها از جدول ۳ دست می‌آید.

جدول ۳: وزن مربوط به مقدار LNRF

LNRF > 2	LNRF < 2 <	< 1 LNRF	مقدار
Weight=2	Weight=1	Weight=0	(wight) وزن

بعد از پیدا کردن وزن مربوط به هر عامل، با جمع کردن نقشه وزنهای عوامل مختلف و طبقه بندی آن در محیط سامانه، اطلاعات جغرافیایی نقشه پهنه‌بندی خطر زمین لغزش به دست می‌آید (شادر و همکاران، ۱۳۸۴).

7 -Landslide norminal risk factor

8 -Gupta & Joshi

پنهانه بندی به روش نسبت فراوانی^۱:

بعد از تهیه و طبقه بندی هر کدام از لایه های ذکر شده، این لایه ها با لایه اطلاعاتی پراکنش زمین لغزش ها تلفیق گردید تا تعداد زمین لغزش در هر کلاس از عوامل مختلف به دست آید. در مرحله بعد با استفاده از مدل نسبت فراوانی، رابطه^(۵) وزن هر یک از کلاسه ها تعیین گردید (لی ۲۰۰۷، ۱۰ و پور قاسمی، ۱۳۸۶).

رابطه^(۵)

$$\text{نسبت فراوانی} = \frac{\text{درصد پیکسل های هر کلاس عامل}}{\text{درصد تعداد لغزش های رخداده در هر کلاس عامل}}$$

این وزن ها در محیط سامانه اطلاعات جغرافیایی (GIS) و با استفاده از نرم افزار Arc view با هم جمع شده، نقشه به دست آمده به چهار پنهانه تقسیم بندی گردید.

نتایج

در راستای روش تحقیق، نتایج به ترتیب آورده شده اند.

بعد از تهیه عوامل مختلف دخیل در وقوع زمین لغزش های حوضه آبخیز سد ایلام، این لایه ها طبقه بندی گردیدند و هر کدام از طبقه های آنها با کدهای نمایش داده شدند (جدول^۴). سپس با پنج روش ذکر شده نقشه های پنهانه بندی به صورت زیر تهیه گردید:

9 -Frequency ratio
10 -Lee

تعیین مناسب‌ترین روش پهنه‌بندی خطر زمین لغزش در حوضه آبخیز سد ایلام ۱۱۱

جدول ۴: کد طبقه‌های عوامل مختلف

کد طبقه	عامل	شیب (درصد)	فاصله از جاده (متر)	فاصله از بارش (میلیمتر)	فاصله از کاربری	جهت دادن روduct (متر)	فاصله از گسل (متر)
۱	گورپی	-۰-۹	-۰-۱۰	۳۵۷-۵۷۳	۹۲۰-۱۰۸۵	۱۰۰-۱۱۰	۰-۱-۰
۲	سازند ایلام	۰-۹-۱۰	۰-۱۰-۲۰	۵۷۳-۷۸۸	۱۰۰-۱۱۷	۱۰۰-۲۰۰	۰-۱-۰
۳	پایده	۰-۲۵-۳۰	۰-۲۰-۳۰	۷۷۱-۱۰۰	<۱۷۰-۱۵۰	<۲۰۰-۲۰۰	۰-۱-۰
۴	دیگر سازندها	<۷۵	<۴۰	۳۰۰-۳۰۰	-	-	-
۵	-	-	-	-	-	-	-

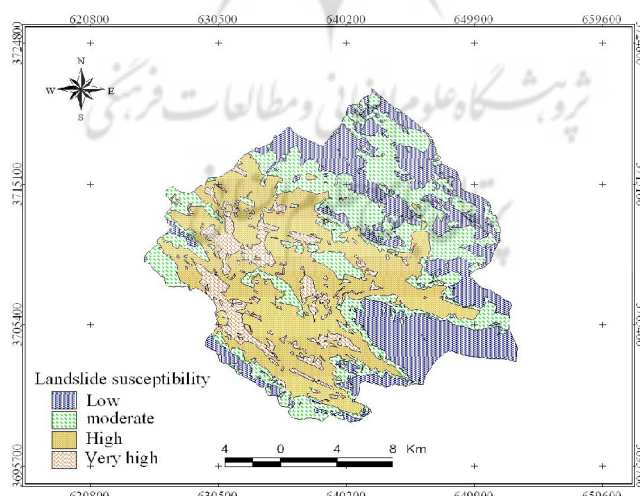
پنهن بندی به روش ارزش اطلاعاتی (winf)

در روش ارزش اطلاعاتی، نرخ مربوط به هر کلاس از عوامل از رابطه ۱ به دست می‌آید. نتایج این قسمت در جدول ۵ آورده شده است.

جدول ۵: نرخ کلاسه‌های عوامل وقوع زمین لغزش حوضه آبخیز سد ایلام به روش ارزش اطلاعاتی

جهت دامنه	فاصله از رودخانه	فاصله از از گسل	ارتفاع از سطح دریا	شیب	فاصله از جاده	بارندگی	کاربری	زمین شناسی	عامل کلاس
۰/۰۲۸	۰/۸۳۷	۰/۳۵۲	۱/۱۴۶	۰/۲۰	۰/۸۳۱	۱/۳	۰/۸۵۷	۰/۵۴	۱
۰/۷۵۵	۰/۴۸۹	۰/۱۱۰۸	۱/۴۵۰	۰/۸۳	۰/۷۰۵	۰/۶۷۲	۰/۱۱۸	۰/۳۵۵	۲
۰/۰۲۲	۰/۰۹۷۵	۰/۰۶۳۰	۰/۷۰	۰/۳۵۳	۰/۷۵۲	۰/۱۴۶	۱/۰۴۵	۰/۳۸۶	۳
۰/۰۰۹۵	-۰/۷۱۴	-	-۰/۸۹	-۰/۴۹	۰/۲۷۸	-	-۰/۰۷۰۵	-۰/۷۸۵	۴
۰/۰۴۶۴	-۰/۳۸۶	-	-۰/۶۵۳	-	۰/۴۶	-	-	-	۵
	-	-	۰/۰۹	-	-	-	-	-	۶

سپس لایه‌ها با توجه به نرخ‌های به دست آمده از جدول ۴ تهیه شده، با روی هم اندازی و جمع کردن ارزش پیکسل‌ها برای عوامل مختلف، نقشه نهایی به دست می‌آید. برای کلاسه‌بندی، آن را به چهار قسمت مساوی تقسیم کرده، به این ترتیب، نقشه پنهن‌بندی خطر زمین لغزش به روش ارزش اطلاعاتی به دست می‌آید (شکل ۳).



شکل ۳: نقشه پنهن‌بندی خطر زمین لغزش حوضه آبخیز سد ایلام به روش ارزش اطلاعاتی

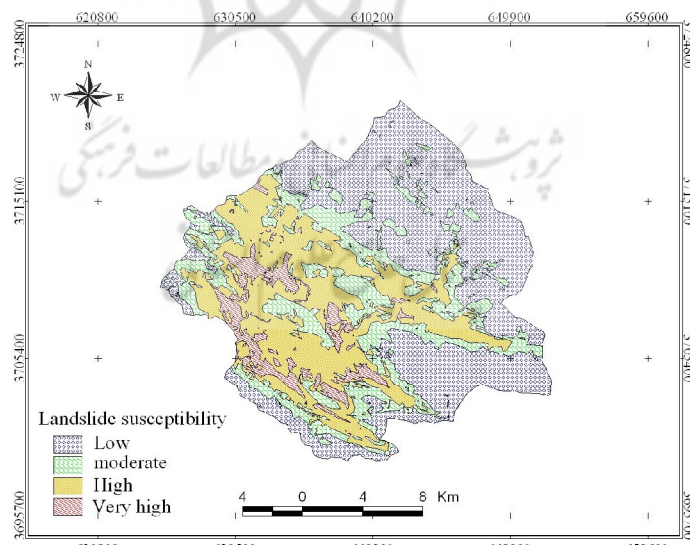
تعیین مناسب‌ترین روش پنهان بندی خطر زمین لغزش در حوضه آبخیز سد ایلام ۱۱۳

پنهان بندی خطر زمین لغزش به روش تراکم سطح (wa):

نرخ مربوط به هر یک از کلاسه‌های عوامل مختلف در این روش از رابطه ۲ به دست می‌آید که در جدول ۶ ذکر شده است. برای تهیه نقشه پنهان بندی در روش تراکم سطح، مانند روش ارزش اطلاعاتی عمل می‌شود (شکل ۴).

جدول ۶ : نرخ کلاسه‌های عوامل وقوع زمین لغزش حوضه آبخیز سد ایلام به روش تراکم سطح

جهت دامنه	فاصله از رودخانه	فاصله از گسل	ارتفاع از سطح دریا	شب	فاصله از جاده	بارندگی	کاربری	زمین‌ شاسی	عامل/ کلاس
۹۷۲	۱۸۹۲	۱۴۲۲	۲۱۴۵	۱۲۳۱	۱۸۸۰	۳۶۶۷	۳۱۷۴	۱۷۱۰	۱
۲۱۲۹	۶۱۳	۱۱۱۷	۴۲۶۶	۲۲۲۸	۲۰۲۵	۵۱۰	۸۸۸	۱۴۲۶	۲
۸۰۰	۳۷۷	۵۳۲	۱۰۷۲	۱۴۲۴	۲۱۲۰	۲۴۲	۲۸۴۲	۶۸۰	۳
۹۰۸	۴۸۹	-	۴۱۱	۶۱۰	۱۳۱۹	-	۹۳۱	۴۵۶	۴
۴۱۱	۲۵۰	-	۱۹۱	-	۲۰۹	-	-	-	۵
-	-	-	۵۶۸	-	-	-	-	-	۶



شکل ۴ : نقشه پنهان بندی خطر زمین لغزش حوضه آبخیز سد ایلام به روش تراکم سطح

پنهان بندی به روش فرایند تحلیل سلسله مراتبی (AHP):

در این روش، همان طور که گفته شد، مقایسات زوجی بین هر جفت از عوامل از طریق قضاوت شفاهی (جدول ۱) در نظر گرفته می‌شود و نتیجه مقایسات به صورت ماتریس در می‌آید که برای هر ستون مجموع در زیر آن ستون نوشته می‌شود (جدول ۷).

جدول ۷: محاسبه وزن عوامل در روش تحلیل سلسله مراتبی سیستم‌ها (مرحله اول)

ارتفاع	جهت	جهت	بارندگی	گسل	کاربری	رودهانه	شیب	زمین	جاده	
۸	۷	۶	۵	۴	۳	۳	۲	۱	جاده	
۸	۷	۶	۵	۴	۳	۲	۱	.۰/۵	زمین	
۷	۶	۵	۴	۳	۲	۱	.۰/۵	.۰/۳۳	شیب	
۶	۵	۴	۳	۲	۱	.۰/۵	.۰/۳۳	.۰/۳۳	رودهانه	
۶	۵	۳	۲	۱	.۰/۵	.۰/۳۳	.۰/۲۵	.۰/۲۵	کاربری	
۴	۳	۲	۱	.۰/۵	.۰/۳۳	.۰/۲۵	.۰/۲	.۰/۲	گسل	
۳	۲	۱	.۰/۵	.۰/۳۳	.۰/۲۵	.۰/۲	.۰/۱۷	.۰/۱۷	بارندگی	
۲	۱	.۰/۵	.۰/۳۳	.۰/۲	.۰/۲	.۰/۱۶	.۰/۱۴	.۰/۱۴	جهت	
۱	.۰/۵	.۰/۳۳	.۰/۲۵	.۰/۱۶	.۰/۱۶	.۰/۱۴	.۰/۱۲۵	.۰/۱۲۵	ارتفاع	
۴۵	۳۶/۵	۲۷/۸۳	۲۱/۰۸	۱۵/۱۹	۱۰/۴۴	۷/۵۸	۴/۷۱۵	۳/۰۴۵	مجموع	

در مرحله بعد، اعداد موجود در هر ستون بر عدد مجموع آن ستون تقسیم می‌گردد و در جدول دیگری نوشته می‌شود. سپس از اعداد موجود در هر کدام از ردیف‌ها، میانگین گرفته و این عدد به عنوان وزن نهایی هر عامل در نظر گرفته می‌شود (جدول ۸).

تعمیم مناسب‌ترین روش پهنه بندی خطر زمین لغزش در حوضه آبخیز سد ایلام ۱۱۵

جدول ۸: محاسبه وزن عوامل در روش تحلیل سلسله مراتبی سیستم‌ها (مرحله دوم)

وزن نسبی	ارتفاع	جهت	بارندگی	گسل	کاربری	روودخانه	شیب	زمین	جاده	
.۰/۲۸	.۰/۱۷	.۰/۱۹۱	.۰/۲۱۵	.۰/۲۳۷	.۰/۲۶۳	.۰/۲۸۷	.۰/۳۹۵	.۰/۴۲۴	.۰/۳۳	جاده
.۰/۲۲	.۰/۱۷۷	.۰/۱۹۱	.۰/۲۱۵	.۰/۲۳۷	.۰/۲۶۳	.۰/۲۸۷	.۰/۲۶۳	.۰/۲۱۲	.۰/۱۶۴	زمین
.۰/۱۶	.۰/۱۵۵	.۰/۱۵۶	.۰/۱۷۹	.۰/۱۸۹	.۰/۱۹۷	.۰/۱۹۱	.۰/۱۳۱	.۰/۱۰۶	.۰/۱۰۸	شیب
.۰/۱۱	.۰/۱۳۳	.۰/۱۳۶	.۰/۱۴۳	.۰/۱۴۲	.۰/۱۳۱	.۰/۰۹۵	.۰/۰۶۵	.۰/۰۶۹	.۰/۱۰۸	روودخانه
.۰/۰۸۵	.۰/۱۳۳	.۰/۱۳۶	.۰/۱۰۷	.۰/۰۹۴	.۰/۰۶۵۸	.۰/۰۴۷۸	.۰/۰۴۳	.۰/۰۵۳	.۰/۰۸۲	کاربری
.۰/۰۵۵	.۰/۰۸۸	.۰/۰۸۲	.۰/۰۷۱	.۰/۰۴۷	.۰/۰۳۳	.۰/۰۳۱۶	.۰/۰۳۳	.۰/۰۴۲	.۰/۰۵۵۶	گسل
.۰/۰۳۸	.۰/۰۶۶	.۰/۰۵۴	.۰/۰۳۵	.۰/۰۲۳۷	.۰/۰۲۱۷	.۰/۰۲۴	.۰/۰۲۶	.۰/۰۳۵	.۰/۰۵۵	بارندگی
.۰/۰۲۷	.۰/۰۴۴	.۰/۰۲۷	.۰/۰۱۷۹	.۰/۰۱۵	.۰/۰۱۳	.۰/۰۱۹	.۰/۰۲۱	.۰/۰۲۹۶	.۰/۰۴۵	جهت
.۰/۰۱۹	.۰/۰۲۲	.۰/۰۱۳۶	.۰/۰۱۱	.۰/۰۱۲	.۰/۰۱۰۵	.۰/۰۱۵	.۰/۰۱۸	.۰/۰۲۶	.۰/۰۴۱	ارتفاع

وزن عوامل مختلف همان طور که در جدول (۷) مشخص است، به صورت زیر است

جاده = .۰/۲۸، زمین شناسی = .۰/۲۲، شیب = .۰/۱۶، روودخانه = .۰/۱۱، کاربری = .۰/۰۸۵

گسل = .۰/۰۵۵، بارندگی = .۰/۰۳۸، جهت = .۰/۰۲۷، ارتفاع = .۰/۰۱۹. (تمامی اعداد بسی بعد هستند). نرخ کلاسه‌های عوامل مختلف نیز با توجه به تعداد زمین لغزش‌های رخداد در کلاسه‌های مختلف بین ۰-۱۰۰ در نظر گرفته می‌شود که هر کدام از لایه‌ها بر اساس این نرخ‌ها تهیه می‌گردند (جدول ۹).

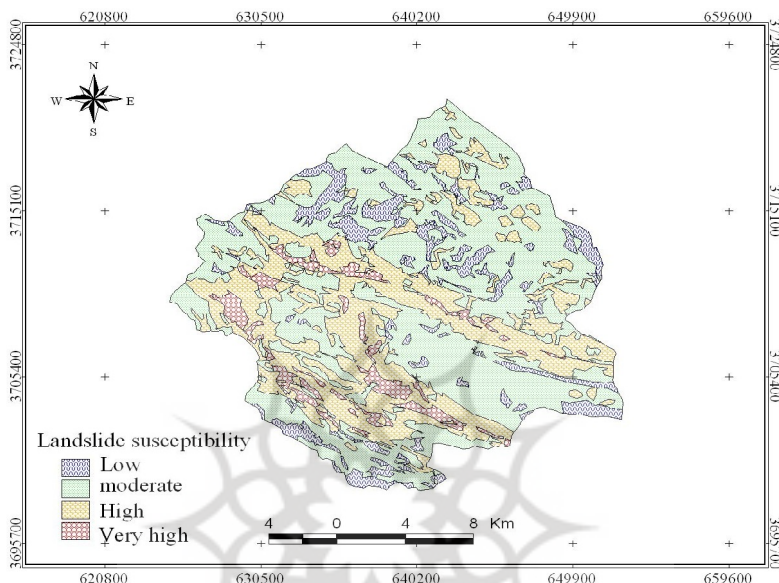
جدول ۹: نرخ طبقات مختلف به روش تحلیل سلسله مراتبی سیستم‌ها (AHP).

ارتفاع	جهت	بارندگی	گسل	کاربری	روودخانه	شیب	زمین	جاده	
۱۰۰	۲۱	۶۵	۱۰۰	۸	۱۰۰	۷۱	۱۰۰	۱۰۰	۱
۸۱	۷۹	۱۰۰	۹۴	۲۰	۲۵	۳۶	۹۵	۷۳	۲
۸۱	۱۰۰	۱۳	۶۱	۱۰۰	۹	۲۹	۳۱	۶۷	۳
۱۲	۵۰	-	-	-	۶	۲۹	۲۶	۳۳	۴
۶	۷۹	-	-	-	۳	۵۷	-	۳۳	۵
۶	-	-	-	-	-	۱۰۰	-	-	۶

بعد از انجام عملیات بالا نقشه نهایی پهنه بندی بر اساس رابطه ۶ تهیه می‌گردد.

$$\text{Finall} = 6 \times \text{زمین شناسی} + 0.85 \times \text{کاربری اراضی} + 28 \times \text{جاده}$$

در نهایت، نقشه به دست آمده همانند روش‌های قبلی به چهار طبقه مساوی تقسیم گردیده، نقشه پهنی بندی نهایی به دست می‌آید (شکل ۵).



شکل ۵: نقشه پهنی بندی خطر زمین لغزش حوضه آبخیز سد ایلام به روش (AHP)

پهنی بندی خطر زمین لغزش به روش LNRF

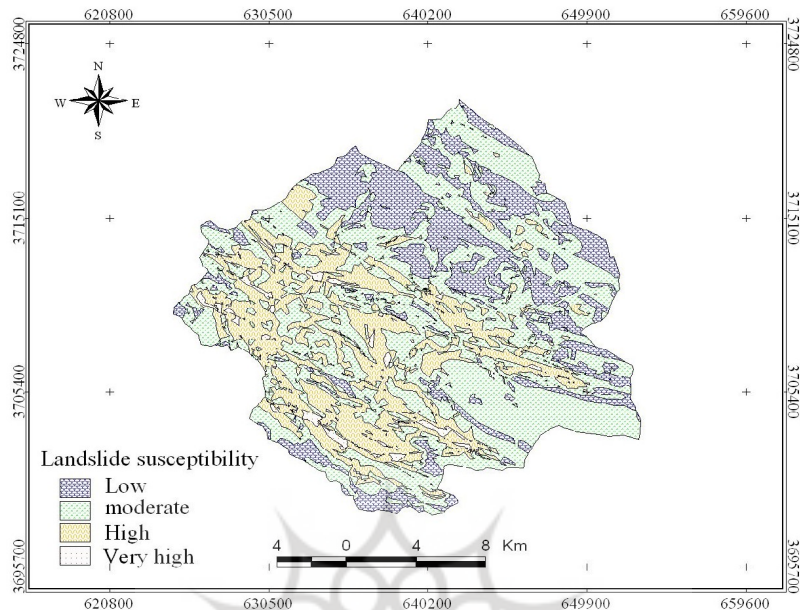
بعد از تهیه عوامل دخیل در وقوع زمین لغزش‌های منطقه و کلاسه بندی و کد بندی لایه‌ها (جدول ۴) هر کدام از عوامل ذکر شده با نقشه پراکنش زمین لغزش قطع داده شده، مقدار لغزش در هر طبقه به دست می‌آید و با استفاده از فرمول LNRF (روش گوپتا-جوشی) وزن هر طبقه محاسبه می‌گردد (جدول ۱۰ و ۱۱). سپس نقشه هر یک از عامل‌ها بر اساس وزن‌های به دست آمده از جدول (۱۱) ساخته می‌شود. آنگاه در محیط سامانه اطلاعات جغرافیایی نقشه وزن‌ها را با هم جمع کرده، نقشه به دست آمده به چهار طبقه تقسیم می‌گردد (شکل ۶).

تعیین مناسب‌ترین روش پنهانی خطر زمین لغزش در حوضه آبخیز سد ایلام ۱۱۷

جدول ۱۰: مقدار LNRF برای عوامل مختلف در حوضه آبخیز سد ایلام

عامل کلاس	زمین شناسی	شیب	فاصله از جاده	کاربری	بارش	فاصله از گسل	ارتفاع	جهت دامنه	فاصله از رودخانه
۱	۲۶.۶	.۰/۶۷	۱/۵۸	.۰/۶۵	۲/۸۰	۱/۵۳	.۰/۹۶	۱/۶۶	۳۴/۷۷
۲	.۰/۴۶۸	.۰/۳۳	.۰/۸۰۲	.۰/۴۲۱	.۰/۱۴	.۰/۹۱۳	۱/۴۱۷	۱/۰۶۵	.۰/۶۷
۳	.۰/۵۷۰	.۰/۷۰۴	۲/۰۳	.۰/۰۸	.۰/۰۵۷	.۰/۵۵۶	۳/۰۷۸	۰/۶۹	.۰/۲۸
۴	.۰/۳۰۵	۲/۳۱۱	.۰/۲۲۹	۲/۸۵	-	.۰/۳۵۲	.۰/۵۸	.۰/۱۹۳	.۰/۹۴۰
۵	-	-	.۰/۳۵۳	-	-	-	.۰/۷۷۲	-	.۰/۰۹۴۰
۶	-	-	-	-	-	-	.۰/۱۱۳	-	-

جدول ۱۱: وزن طبقات عوامل مختلف در حوضه آبخیز سد ایلام



شکل ۶: نقشه پنهانه بندی خطر زمین لغزش حوضه آبخیز سد ایلام به روش LNRF

پنهانه بندی خطر زمین لغزش با روش آماری Frequency ratio

بعد از به دست آوردن وزن لایه‌های مختلف جدول (۱۲) از رابطه (۵) این لایه‌ها با

هم جمع گردیدند و نقشه پنهانه بندی خطر زمین لغزش به روش نسبت فراوانی تهیه گردید(شکل ۷).

جدول ۱۲: وزن عوامل مؤثر به روش frequency ratio در حوضه آبخیز سد ایلام

عامل	طبقه	تعداد پیکسل‌های هر طبقه	درصد پیکسل‌های در هر طبقه	تعداد لغزش رخداده در هر طبقه	درصد لغزش رخداده در هر طبقه	نسبت فراوانی
شیب به درصد	۰-۹%	۵۴۲۰۴	۲۸	۸	۱۷	.۰/۶
	۹-۱۶%	۱۵۱۴۷	۸	۷	۱۵	۱/۸۷۵
	۱۶-۲۵%	۲۲۸۶۶	۱۲	۱۲	۲۷	۲/۲۵
	۲۵%	۲۸۲۶۱	۵۲	۱۹	۴۱	.۰/۷۹
جهت دامنه	شمال	۱۳۱۵۳	۲۲/۳۷	۸	۱۷/۴۰	.۰/۷۸

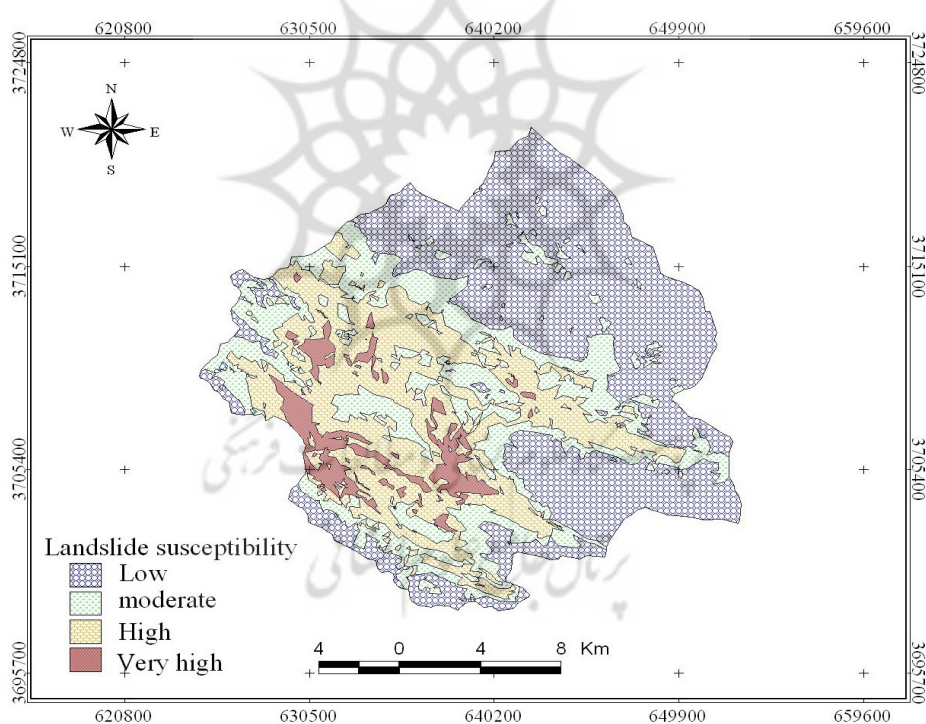
تعیین مناسب‌ترین روش پنهان بندی خطر زمین لغزش در حوضه آبخیز سد ایلام ۱۱۹

ادامه جدول ۱۲: وزن عوامل مؤثر به روش frequency ratio در حوضه آبخیز سد ایلام

عامل	طبقه	تعداد پیکسل‌های هر طبقه	درصد پیکسل‌ها در هر طبقه	تعداد لغزش رخ داده در هر طبقه	درصد لغزش رخ داده در هر طبقه	نسبت فراوانی
شرق	۷۸۲۵	۱۳/۳۰	۱۴	۳۰/۴۲	۲/۲۹	
جنوب	۱۷۵۲۶	۲۹/۸۰	۱۲	۲۶/۰۸	۰/۸۷۵	
غرب	۱۴۰۹۳	۲۳/۹۸	۸	۱۷/۴۰	۰/۷۲۵	
مناطق مسطح	۶۲۰۴	۱۰/۵۵	۴	۸/۷	۰/۸۲۵	
ارتفاع از سطح دریا به متر	۹۲۰-۱۰۸۵	۱۱۶۲۳	۶	۱۳	۲۹	۴/۸۴
	۱۰۸۵-۱۱۷۰	۱۴۵۴۴	۷	۱۳	۲۹	۴/۱۴
	۱۱۷۰-۱۵۰۰	۵۴۹۲۴	۲۹	۱۴	۳۱	۱/۰۷
	۱۵۰۰-۱۶۷۰	۶۶۲۹۴	۳۵	۳	۷	۰/۲
	۱۶۷۰-۲۱۶۴	۲۷۷۷۵	۱۵	۱	۲	۰/۱۴
	۲۱۶۴-۲۵۸۰	۱۵۲۴۸	۸	۱	۲	۰/۲۵
سنگ شناسی	گورپی	۹۹۸۰	۱۶/۹۸	۱۵	۳۲/۶۱	۱/۹۲
	پابده	۱۵۰۲۱	۲۵/۵۴	۱۱	۲۳/۹۱	۰/۹۳۶
	ایلام	۷۵۶۰	۱۲/۸۶	۱۵	۳۲/۶۱	۲/۵۳
	دیگر سازندها	۲۶۲۴۰	۴۴/۵۲	۵	۱۰/۸۷	۰/۲۴۳
کاربری اراضی	اراضی کشاورزی	۲۴۰۱	۴/۰۸	۴	۸/۷	۲/۱۳
	جنگل	۱۱۱۰۰	۱۸/۸۸	۱۱	۲۳/۹۰	۱/۲۶۵
	مرتع	۴۵۳۰۰	۷۷/۰۴	۳۱	۶۷/۴	۰/۸۷۴
فاصله از گسل به مترا	۰-۱۰۰	۱۸۹۰۰	۳۲/۱۴	۱۵	۳۲/۶	۱/۰۱۴
	۱۰۰-۲۰۰	۱۸۲۷۸	۳۱/۰۸	۱۸	۳۹/۱۳	۱/۲۶
	۲۰۰-۳۰۰	۱۳۱۷۵	۲۲/۴۱	۱۰	۲۱/۷۴	۰/۹۷
	۳۰۰-<	۸۴۴۸	۱۴/۳۷	۳	۶/۵۲	۰/۴۵۳
فاصله از شبکه زهکشی به مترا	> ۱۰۰	۲۱۶۰۰	۳۶/۷۳	۳۱	۶۷/۴	۱/۸۳
	۱۰۰-۲۰۰	۱۶۷۰۰	۲۸/۴	۹	۱۹/۵۷	۰/۶۸۹
	۲۰۰-۳۰۰	۱۰۱۸۰	۱۷/۳۱	۴	۸/۷	۰/۵۰۲
	۳۰۰-۴۰۰	۵۲۱۵	۸/۸۷	۱	۲/۱۷	۰/۲۴۴
	۴۰۰-<	۵۱۰۶	۸/۶۹	۱	۲/۱۷	۰/۲۴۹
فاصله از جاده مترا	> ۱۰۰	۸۱۴۲	۱۳/۸۵	۱۵	۳۲/۶	۲/۳۵

ادامه جدول ۱۲: وزن عوامل مؤثر به روشن frequency ratio در حوضه آبخیز سد ایلام

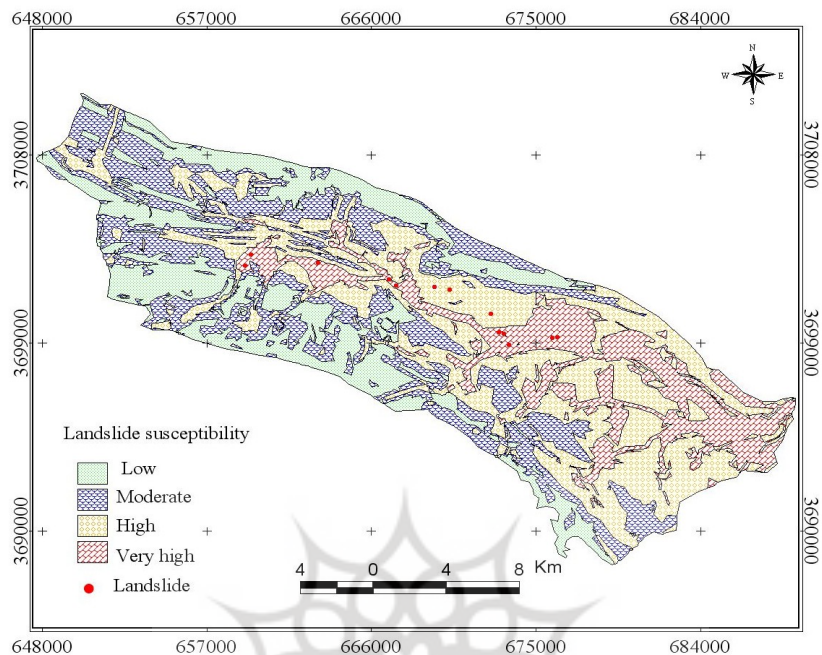
عامل	طبقه	تعداد پیکسل های هر طبقه	درصد پیکسل ها در هر طبقه	تعداد لغزش رخداده در هر طبقه	درصد لغزش رخداده در هر طبقه	نسبت فراوانی
	۱۰۰-۲۰۰	۷۵۸۷	۱۲/۹۰	۹	۱۹/۵۷	۱/۵۱۷
	۲۰۰-۳۰۰	۶۶۲۴	۱۱/۲۶	۱۱	۲۲/۹۲	۲/۱۲۴
	۳۰۰-۴۰۰	۵۷۹۴	۹/۸۵	۶	۱۳/۰۴	۱/۳۲۴
	۴۰۰-<	۳۰۶۵۴	۵۲/۱۴	۵	۱۰/۸۷	۰/۲۰۸
بارش به میلی متر	۳۵۰-۵۰۰	۱۰۴۴۶	۱۷/۷۶	۳۰	۶۵/۲۱	۳/۶۷
	۵۰۰-۶۵۰	۳۲۵۴۱	۵۵/۳۴	۱۲	۲۶/۰۹	۰/۴۷۱
	۶۵۰-<	۱۵۸۱۴	۲۶/۹	۴	۸/۷	۰/۳۲۳



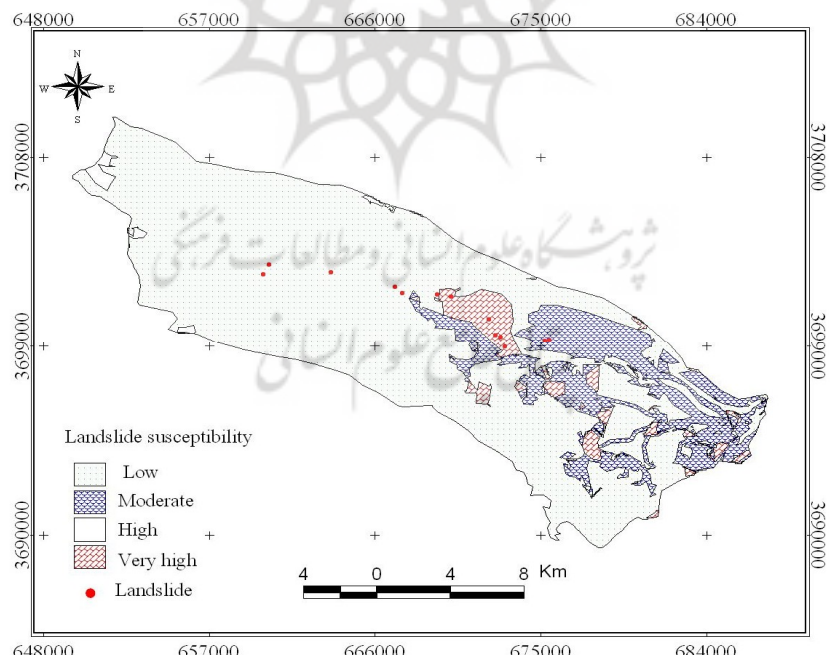
شکل ۷: نقشه پهنی خطر زمین لغزش حوضه آبخیز سد ایلام به روشن نسبت فراوانی

ارزیابی صحت نقشه‌های پهنه‌بندی خطر زمین لغزش

برای این کار، از حوضه آبخیز پاکل گраб در محدوده مختصاتی عرض جغرافیایی شمالی "۳۶'۱۸" تا "۳۳'۲۴" و طول جغرافیایی شرقی "۴۶'۳۶" تا "۴۷'۰۰" در جنوب شرق حوضه سد ایلام با مساحت ۳۵۰ کیلومتر مربع که از نظر خصوصیات آب و هوایی، سنگ شناسی، کاربری اراضی و ... مشابه حوضه مورد مطالعه است، به عنوان منطقه آزمایش مدل‌ها استفاده گردید؛ به این صورت که ابتدا نقشه پراکنش زمین لغزش‌های حوضه پاکل گраб با انجام بازدیدهای صحرایی تهیه و رقومی گردید. سپس نقشه عوامل مؤثر نهایی که برای حوضه سد ایلام تهیه گردیده بود، به همان روش برای حوضه پاکل گраб نیز تهیه گردید. سپس وزن‌های به دست آمده از پنج روش بالا در حوضه سد ایلام بر روی نقشه‌های حوضه پاکل گраб اعمال گردید و کلاس‌های حساسیت مشابه حوضه سد ایلام تعریف گردید و نقشه‌های پهنه‌بندی خطر زمین لغزش حوضه پاکل گраб به دست آمد. در پایان نقشه پراکنش زمین لغزش‌ها و نقشه‌های پهنه‌بندی تهیه شده در حوضه پاکل گраб روی هم انداخته شدند و تعداد لغزش در هر یک از کلاسه‌های حساسیت محاسبه گردید (اشکال ۸ الی ۱۲). مدلی کارآمدتر است که تعداد بیشتری زمین لغزش در کلاسه‌های با خطر بالا در آن اتفاق افتاده باشد. همان طور که از جدول ۱۳ مشخص است، در روش ارزش اطلاعاتی ۱۰۰٪ لغزش‌های رخ داده در کلاسه‌های خیلی پر خطر و پر خطر اتفاق افتاده‌اند و ۹۳٪ لغزش‌ها در پهنه‌های خیلی پر خطر و خطرناک در روش AHP اتفاق افتاده‌اند. بنابراین، از بین پنج روش مورد استفاده به ترتیب مدل‌های ارزش اطلاعاتی و AHP به دلیل توانایی در تفکیک کلاسه‌های خطر مناسب‌ترین روش‌ها برای پهنه‌بندی خطر زمین لغزش در حوضه آبخیز سد ایلام تشخیص داده شده‌اند.

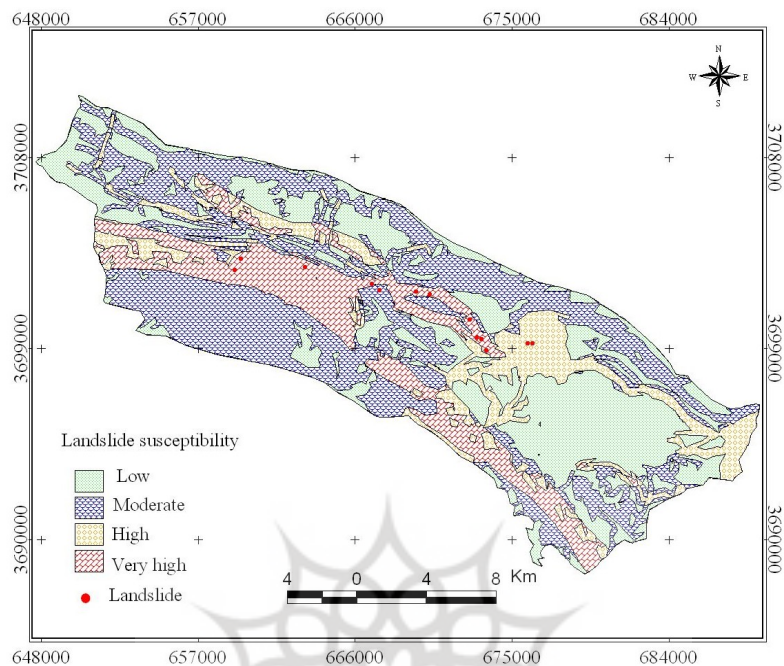


شکل ۸: نقشه ارزیابی روش ارزش اطلاعاتی با استفاده از حوضه مجاور (حوضه پاکل گراب)

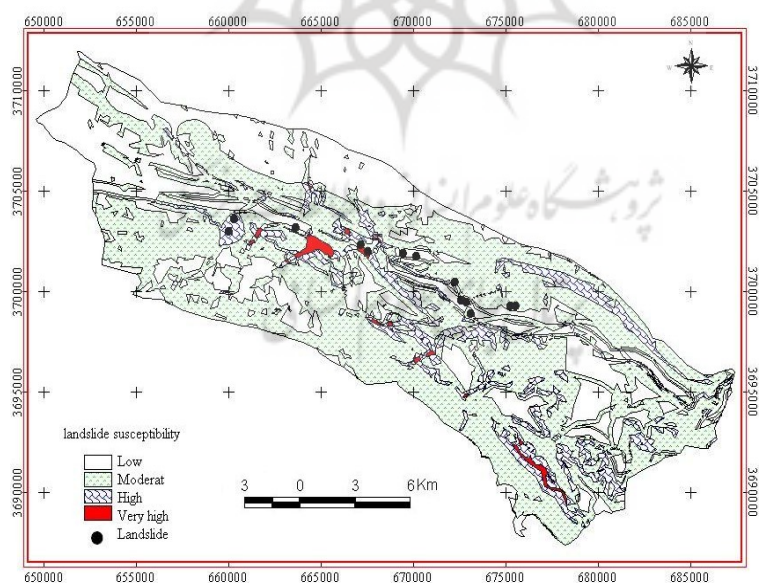


شکل ۹: نقشه ارزیابی روش تراکم سطح با استفاده از حوضه مجاور (حوضه پاکل گراب)

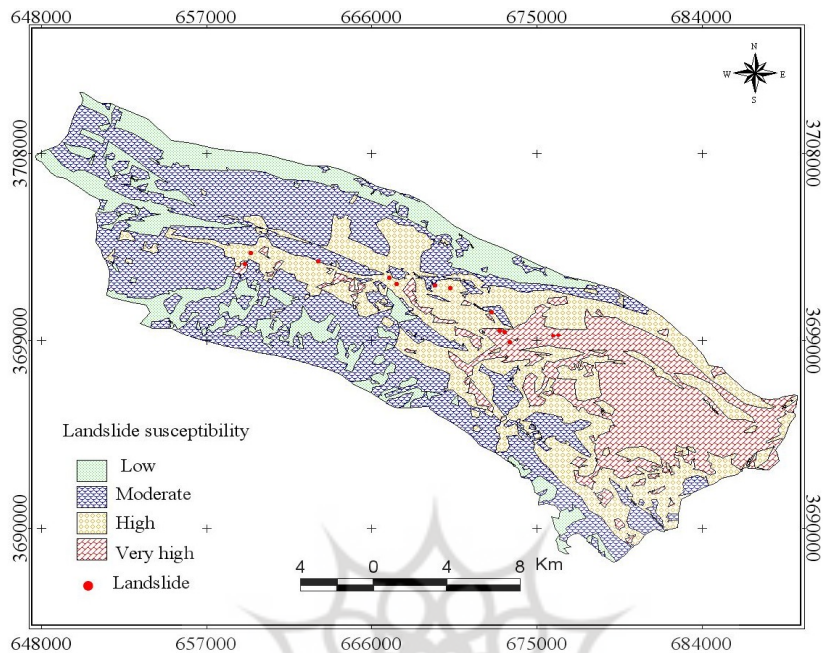
تعیین مناسب‌ترین روش پنهانی بندی خطر زمین لغزش در حوضه آبخیز سد ایلام ۱۲۳



شکل ۱۰: نقشه ارزیابی روش فرایند تحلیل سلسله مراتبی با استفاده از حوضه مجاور
(حوضه پاکل گراب)



شکل ۱۱: نقشه ارزیابی روش LNRF با استفاده از حوضه مجاور (حوضه پاکل گراب)



شکل ۱۲: نقشه ارزیابی روش نسبت فراوانی با استفاده از حوضه مجاور (حوضه پاکل گراب)

جدول ۱۳: ارزیابی کارایی روش‌های مختلف پهنه‌بندی خطر زمین لغزش در حوضه آبخیز سد ایلام

Fr		LNRF		AHP		Wa		Winf		پهنه‌های خطر	مدل‌های پهنه بندی
درصد	تعداد										
لغزش‌ها	لغزش										
۴۶	۶	۱۵/۵	۲	۷۷	۱۰	۳۸	۵	۷۷	۱۰	خیلی پر خطر	
۵۴	۷	۱۵/۵	۲	۱۶	۲	۰	۰	۲۳	۳	پر خطر	
۰	۰	۳۰	۴	۷	۱	۱۶	۲	۰	۰	خطر متوسط	
۰	۰	۳۹	۵	۰	۰	۴۶	۶	۰	۰	کم خطر	

بحث و نتایج:

در مورد پهنه بندی با پنج روش ذکر شده در حوضه سد ایلام، چنان که از جدول (۱۳) بر می‌آید روش‌های ارزش اطلاعاتی و فرایند تحلیل سلسله مراتبی مناسبتر از سایر

روش‌ها هستند. سفیدگری (۱۳۸۱) در تحقیقی که در حوضه آبخیز دماوند نموده، بیان کرده است که از بین هشت روش مورد استفاده برای پنهان بندی خطر زمین لغزش، روش ارزش اطلاعاتی نتایج قابل قبول و رضایت‌بخشی نسبت به سایر روش‌ها همراه داشته است. همچنین، فتاحی اردکانی (۱۳۷۹) در حوضه سد لتیان در ارزیابی چهار روش پنهان‌بندی بیان کرده که روش ارزش اطلاعاتی نسبت به سایر روش‌ها دارای جواب قابل قبول‌تری بوده است، که با نتایج این تحقیق همخوانی دارد. احمدی و همکاران (۱۳۸۱) نتایج حاصل از روش فرایند تحلیل سلسله مراتی را نسبت به مدل رگرسیون چند متغیره در حوضه گرمی چای اردبیل بهتر ارزیابی نمودند. روش تراکم سطح و LNRF با توجه به نتایج ارزیابی روش‌ها، کمترین جواب قابل قبول در منطقه را ارایه نمودند که این نتیجه با تحقیقات شادر و همکاران (۱۳۸۴) در حوضه چالکرود که بیان نمودند روش تراکم سطح در مقایسه با روش‌های ارزش اطلاعاتی و LNRF نتایج بهتری را ارایه نموده است، همخوانی ندارد. روش نسبت فراوانی نیز متوسط ارزیابی گردید. با توجه به نقشه پراکنش زمین لغزش‌ها و تراکم بالای زمین لغزش‌ها در فاصله ۰-۱۰۰ متری از جاده‌ها می‌توان گفت که در بین عوامل خطی جاده، رودخانه و گسل عامل جاده سازی، بیشترین تاثیر را بر روی زمین لغزش‌های رخ داده داشته است، که این امر با تحقیقات گرایی (۱۳۸۵) در حوضه لاجیم رود تجن و مددی (۱۳۸۵) در حوضه لیسر رامسر مطابقت دارد.

همچنین از میان شش پارامتر دیگر مورد بررسی، عامل زمین شناسی بیشترین تاثیر را داشته است، زیرا حجم بسیار بالایی از لغزش‌ها در سازندهای پابده و گورپی که حساس به لغزش هستند، رخ داده است. بنابراین، با توجه به نتایج حاصل از این تحقیق، پیشنهاد می‌گردد که با توجه به نقشه پنهان بندی خطر زمین لغزش با روش ارزش اطلاعاتی، به عنوان بهترین مدل برای منطقه مورد مطالعه با این روش، در همه کارهای عمرانی درون حوضه اعمال مدیریت گردد. همچنین با توجه به اینکه روش ارزش اطلاعاتی برای حوضه مورد مطالعه و حوضه مورد آزمایش نتایج قابل قبولی را ارایه نمود، پیشنهاد می‌گردد برای مشخص نمودن مناطق حساس به لغزش در حوضه‌های مشابه با این

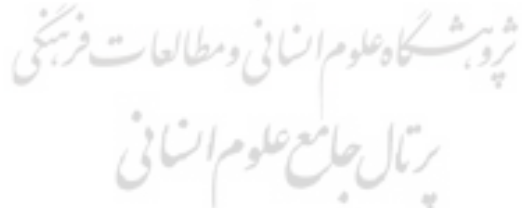
حوضه‌ها، از این مدل استفاده گردد. یکی از عوامل مهم در وقوع زمین لغزش‌های منطقه مورد مطالعه، احداث غیر اصولی جاده‌ها بوده است. پیشنهاد می‌شود برای پیشگیری از اثرات مخرب این کار، از مهندسان مربوطه در هنگام مسیر یابی و احداث جاده‌ها استفاده گردد.

منابع:

۱. احمدی حسن. باذر اسماعیلی عوری، سادات فیض نیا و محسن شریعت جعفری. (۱۳۸۲). «پنهان بندی خطر حرکت‌های توده‌ای با استفاده از دو روش رگرسیون چند متغیره (MR) و تحلیل سلسه مراتبی سیستم‌ها(AHP) مطالعه موردنی حوضه آبخیز گرمی چای اردبیل». *مجله منابع طبیعی ایران*, جلد۶۵. محل نشر دانشکده منابع طبیعی دانشگاه تهران، شماره ۴۳۳۵-۳۲۳. ۴۳۳۵-۳۲۳ صص.
۲. احمدی حسن. شیرین محمدخان. سادات فیض نیا و جمال قدوسی. (۱۳۸۴)، «ساخت مدل منطقه‌ای خطر حرکت‌های توده‌ای با استفاده از ویژگی‌های کیفی و سلسه مراتبی سیستم‌ها (AHP)». *مطالعه موردنی حوضه آبخیز طالقان*، *مجله منابع طبیعی ایران*, محل نشر دانشکده منابع طبیعی دانشگاه نهران، جلد۶. ۵۸۷. شماره ۱۴۰-۳۰. ۱۴۰-۳۰ صص.
۳. پور قاسمی مجید، حمید رضا مرادی. (۱۳۸۶). «پنهان بندی خطر زمین لغزش با روش آماری Frequency ratio در حوضه آبخیز صفا رود»، سومین کنفرانس سراسری آبخیزداری و مدیریت منابع آب و خاک. ۴۰-۵۵ صص.
۴. سفید گری رضا. (۱۳۸۱). «از زیبایی روش‌های پنهان بندی خطر زمین لغزش در حوضه آبخیز دماوند»، پایان نامه کارشناسی ارشد آبخیزداری به راهنمای احمدی، حسن، دانشکده منابع طبیعی دانشگاه تهران، گروه مرتع و آبخیزداری. ۱۵۹ ص.
۵. شادر، صمد؛ علی اکبر نوروزی؛ جمال، قدوسی؛ جعفر غیومیان. (۱۳۸۴). «پنهان بندی خطر زمین لغزش در حوضه آبخیز لاكتراشان»، نشریه علمی ترویجی حفاظت آب و خاک. محل نشر مرکز تحقیقات حفاظت خاک و آبخیزداری کشور، سال اول شماره ۱۰-۱. ۱۰-۱ صص.
۶. شریعت جعفری، حسن. (۱۳۷۵). *زمین لغزش (مبانی و اصول پایداری شبیه‌های طبیعی)* انتشارات سازه، ۱۴۸ ص.
۷. علایی طالقانی، محمود. (۱۳۸۱). *ژئومرفولوژی ایران*، چاپ اول. نشر قومس، شماره ۱۳۳۰، ۳۷۵ ص
۸. فتاحی اردکانی، محمد علی. (۱۳۷۹). «بررسی و ارزیابی کارایی مدل‌های پنهان بندی خطر زمین لغزش در حوضه آبخیز سد لتيان»، پایان نامه کارشناسی ارشد، مرکز آموخت امام خمینی، ۱۸۱ ص.
۹. فرجی سیکبار، حبیب. (۱۳۸۴). «مکان یابی واحدهای خدمات بازرگانی با استفاده از روش تحلیل سلسه مراتبی سیستم‌ها»، نشریه علمی پژوهش‌های جغرافیایی، شماره ۵۱، محل نشر دانشگاه تهران، سال ۳۷. ۲۰۵ ص.
۱۰. فیض نیا، سادات؛ عطاءالله، کلارستاقی؛ حسن احمدی؛ مهرداد صفائی. (۱۳۸۱). «بررسی عوامل مؤثر بر وقوع زمین لغزش‌ها و پنهان بندی خطر زمین لغزش (مطالعه موردنی: حوضه آبخیز شیرین رود- سد تجن)»، *مجله منابع طبیعی ایران*, جلد۵۷، محل نشر، دانشکده منابع طبیعی دانشگاه تهران، شماره ۱.

تعیین مناسب‌ترین روش پنهان بندی خطر زمین لغزش در حوضه آبخیز سد ایلام ۱۲۷

۱۱. گرایی پرویز، اعظمی ایاد و یوب پیرانی. (۱۳۸۶). «پنهان بندی خطر زمین لغزش به روش LNRF در حوضه آبخیز واسستان-ساری»، سومین کنفرانس سراسری آبخیزداری و مدیریت منابع آب و خاک. ۵۴۰ص.
 ۱۲. گرایی پرویز. (۱۳۸۵). «بررسی حرکت‌های توده‌ای به منظور ارایه مدل پنهان بندی خطر در حوضه لاجیم رود تجن»، پایان نامه کارشناسی ارشد راهنمایی کریم سلیمانی، دانشکده منابع طبیعی دانشگاه مازندران، ۱۲۵ص.
 ۱۳. مددی محسن. (۱۳۸۵). «بررسی علل وقوع زمین لغزش لیاسر(دامنه‌های مشرف به شهر رامسر)»، مجموعه مقالات کنفرانس بین المللی مخاطرات زمین‌بلایی طبیعی و راهکارهای مقابله با آنها، زمستان ۱۳۸۵-۱۴۶۲. ۱۴۵۴-۱۴۵۶.
 ۱۴. مهدویفر، محسن. (۱۳۷۶). «پنهان بندی خطر زمین لغزش در منطقه خورش رستم شهرستان خلخال»، مجموعه مقالات دومین سمینار زمین لغزه و کاهش خسارت‌های آن، موسسه بین المللی زاژله شناسی و مهندسی زلزله، جلد اول ۱۴۸ص.
- 15.Ayalew, L.Yamagishi, H. 2005. The Application of GIS-based logistic regression for landslide susceptibility mapping in the Kakuda-Yahiko mountains, central Japan. Geomorphology 65:15-31pp.
16. 15-Gupta, R.P. and B.C. Joshi. 1990. Landslide hazard zoning using the GIS approach- A case study from the Ramganga catchment, Himalayas. Engineering Geology, 28(1): 119-131.
17. Komac, M. 2006. A landslide suscepility model using the Analytical Hierarchy Process method and multivariate statistics in per alpine Slovenia. Geomorphology 24:17-28.
- 18-Lee,S.2006.application and verification of fuzzy algebraic operators to landslide susceptibility mapping. Environmental Geology 52:615-623.
- 19.Yalcin, A.2008. GIS-based landslide susceptibility mapping using analytical hierarchy process and bivariate statistics in Ardesen (Turkey): Comparisons of results and confirmations. CATENA, Volume 72 Pages 1-12.
- 20.zhang fanyu liu.2007. Study on Landslide Susceptibility Mapping Based GIS and with Bivariate Statistics a Case Study in Longnan Area Highway 212. Science paper online.





پژوهشگاه علوم انسانی و مطالعات فرهنگی
پرستال جامع علوم انسانی